

# Η Εμβιομηχανική Ανάλυση στάσης-δύναμης-αντοχής και ιδιοδεκτικότητας των δομών της Σπονδυλικής Στήλης με αντικειμενικές μεθόδους αξιολόγησης

Β' ΜΕΡΟΣ

Γ., ΓΟΥΔΕΒΕΝΟΣ<sup>1</sup>, Ι. ΣΑΡΑΤΣΙΩΤΗΣ<sup>2</sup>, Ν.ΠΑΠΑΔΟΠΟΥΛΟΣ<sup>3</sup>

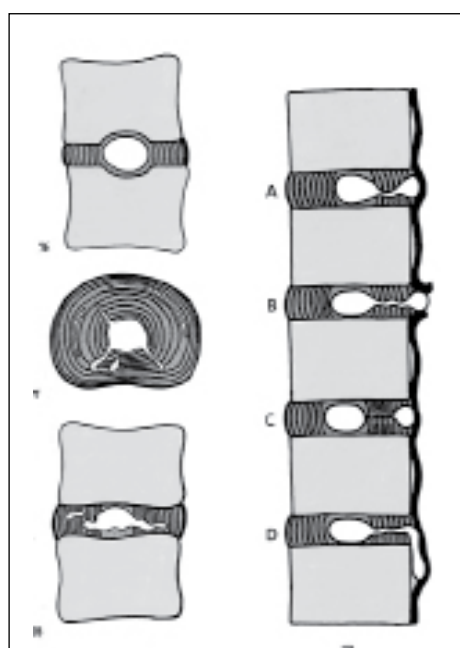
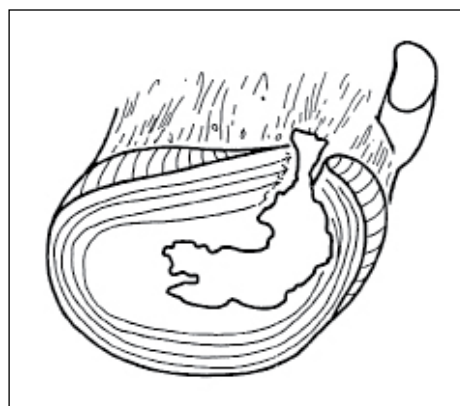
<sup>1</sup>D.N., P.T., Manual Medicine, Dr. of Manual Medicine - Φυσικοθεραπευτής, Επιστημονικός Συνεργάτης Ορθοπαϊδικής Κλινικής Πανεπιστημίου Κρήτης Osteo-Physio Therapy Lab in Athens, Greece, <sup>2</sup>BSc, DC, D.Acup, Doctor of Chiropractic-NYCC, New York, USA,Contemporary Medical Acupuncture Osteo-Physio Therapy Lab in Athens, Greece, <sup>3</sup>Bsc, PT, MT

## Εκφύλιση Μεσοσπονδυλίου Δίσκου

- Από το κέντρο στην περιφέρεια (εικόνα 1)
- Από την περιφέρεια στο κέντρο (εικόνα 2)
- Πρωτογενής στροφική κάκωση των facet
- Δευτερογενής ρήξη του ινώδους δακτυλίου

## Εκφύλιση Μεσοσπονδυλίου Δίσκου: Μηχανικοί παράγοντες

- Θεωρία στροφικής κάκωσης: Πέραν των 3° στις αρθρικές αποφύσεις. Η φυσική εξέλιξη μπορεί να είναι η ίσαστη ή αν εξακολουθήσουν οι επαναλαμβανόμενες κακώσεις θα έχουν σαν αποτέλεσμα τη ρήξη του ινώδους δακτυλίου από την περιφέρεια προς το κέντρο. Συνήθως στον O4-O5.
- Κάκωση σε οξεία υπερκάμψη: Πέραν των 7° ανά σπόνδυλο. Ο μοναδικός μηχανισμός που μπορεί να προκαλέσει οξεία K.M.D.
- Θεωρία της συμπιεστικής κάκωσης: Μια συμπιεστική κάθετη φόρτιση μπορεί να προκαλέσει ρήξη της τελικής πλάκας με επακόλουθη κήλη (όζοι του Schmorl). Φυσική εξέλιξη μπορεί να είναι η ίσαστη ή η διείσδυση του κοκκιωματώδους ιστού της τελικής πλάκας εντός του δίσκου.



Εικόνα 1.

- Θεωρία των επαναλαμβανόμενων συμπιεστικών φορτίων σε κάμψη: Προκαλούν προβολή του δίσκου στην κατώτερη ΟΜΣΣ.
- Θεωρία κακώσεων μεσοσπονδυλίου δίσκου από δονήσεις: Ο δίσκος δονείται στα 4-6 Hz. Τα περισσότερα αυτοκίνητα έχουν ίδια δόνηση με το δίσκο. Όταν συντονίζεται, τότε επηρεάζεται η αιμάτωση του δίσκου πλόγω απόφραξης αρτηριδίων. Έτσι, έχουμε ταχύτερη εκφύλιση δίσκου. Μπορεί να συμβεί κατά την οδήγηση πάνω από 2 ώρες.

## Εκφύλιση Μεσοσπονδυλίου Δίσκου: Χημική Θεωρία

Στηρίζεται στο γεγονός ότι διάφορες χημικές μεταβολής στο δίσκο μπορεί να προκαλέσουν φλεγμονές και εκφύλιση του δίσκου.

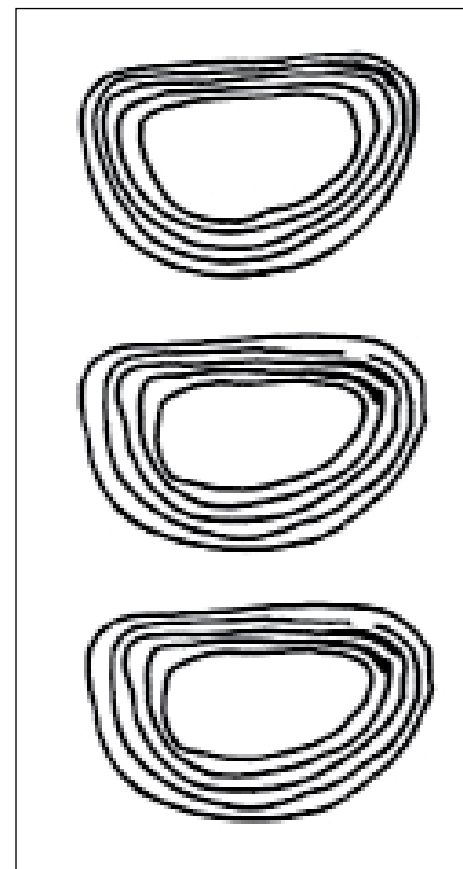
Οι μηχανικοί παράγοντες μπορεί να προκαλέσουν χημικές διαταραχές και επομένως κάποια χημική αντίδραση που θα έχει ως αποτέλεσμα την εκφύλιση του δίσκου.

## Τρεις παθολογικές φάσεις

- Dysfunction - Δυσλειτουργία
- Instability - Αστάθεια
- Stabilization - Σταθεροποίηση

## Στοιχεία διερεύνησης

- Ποιότητα Στάσης και Κίνησης Σπονδυλικής Στήλης (Τηλεμετρία) (εικόνα 3)
- Ποιότητα Στήριξης Μυϊκού Έργου Ισχύος (MedX) (εικόνα 4)
- Ποιότητα Εκτέλεσης Κινήσεων (Ιδιοδεκτικότητα) (εικόνα 5)



Εικόνα 2.

## Σύγχρονοι τρόποι αντικειμενικής μέτρησης της Σ.Σ.

- Τηλεμετρία (Spinal Mouse)
- Κινηματική και κινητική ανάλυση
- Εργομετρικά - πλεκτρονικά μηχανήματα τύπου Medx
- Ηλεκτρονικά μηχανήματα ιδιοδεκτικότητας

## Κινητική Ανάλυση Σπονδυλικής Στήλης με τη Μέθοδο της Τηλεμετρίας (Spinal Mouse) (εικόνα 6)

- Μέτρηση σε οβελιαίο επίπεδο (εικόνα 7)
- Μέτρηση σε μετωπιαίο επίπεδο (εικόνα 8)
- Σπονδυλογράφημα (εικόνα 9)
- Μέτρηση Αυχενικής Μοίρας (εικόνα 10)
- Κάταγμα Θ3/Θ4 και σπονδυλοπλίσθηση O4/O5 (εικόνα 11)
- Ευθειασμός οσφυϊκής μοίρας (flat back) (εικόνα 12)
- Κύφωση (εικόνα 13)
- Μεταβολή κύφωσης στην εκτατική θέση (εικόνα 14)
- Σκοπίωση (εικόνα 15)
- Μετωπιαίο επίπεδο 1<sup>η</sup> μέτρηση (εικόνα 16)
- Μετωπιαίο επίπεδο 2<sup>η</sup> μέτρηση (εικόνα 17)
- Πιθανό συμπιεστικό κάταγμα (εικόνα 18)
- Στένωση σπονδυλικού σωλήνα (εικόνα 19)
- Στένωση σπονδυλικού σωλήνα με ευθειασμό Θ.Ο.Μ.Σ.Σ. (εικόνα 20)
- Κύφωση ανώτερης Θ.Μ.Σ.Σ. και σπονδυλίτιδα (εικόνα 21)
- Σπονδυλοιδεσία O3-L1 (εικόνα 22)
- Σπονδυλόπλισθη O3/O4 (εικόνα 23)



Εικόνα 3.



Εικόνα 5.

- Αγκυλοποιητική σπονδυλίτιδα (εικόνα 24)

## Έλεγχος αξιοπιστίας (σχήμα 1)

## Εργομετρικά - πλεκτρονικά μηχανήματα τύπου Medx (εικόνα 25)

## ΗΜΓ καταγραφή των εν τω βάθει και επιπολής μυών της Σ.Σ (εικόνα 26, 27)

## Εργομετρικό - πλεκτρονικά μηχανήματα τύπου Medx για μέτρηση μυϊκού έργου-ισχύος και κινητικότητας της Σ.Σ (εικόνα 28)

## Διόρθωση της ασυμμετρίας στη δύναμη και τη στάση σε ιδιοπαθή σκολίωση (Mooney et al, 2008, Spine)

Πρόσφατες έρευνες έχουν δείξει ότι η δύναμη της θωρακικής στροφής σε εφήβους με ιδιοπαθή σκολίωση είναι άνιση ανάμεσα στις 2 πλευρές (εικόνες 29, 30). Ο σκοπός της έρευνας αυτής ήταν να δείξει ότι η ασυμμετρία αυτή μπορεί να διορθωθεί με άσκηση αντίστασης και να δείξει και τυχόν αποτέλεσμα στις καμπύλες της σπονδυλικής στήλης. Η έρευνα διεξήχθη στο San Diego της Καλιφόρνια και το Auckland της Νέας Ζηλανδίας.

Το δείγμα ήταν 31 έφηβοι με ιδιοπαθή σκολίωση. Πραγματοποιήθηκαν ακτινογραφίες και

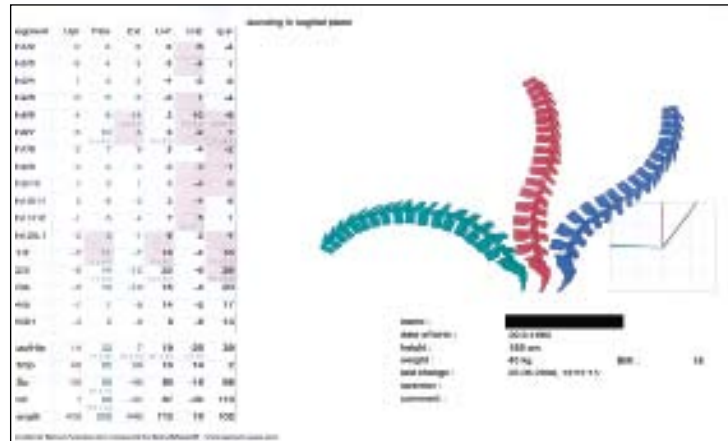


Εικόνα 4.

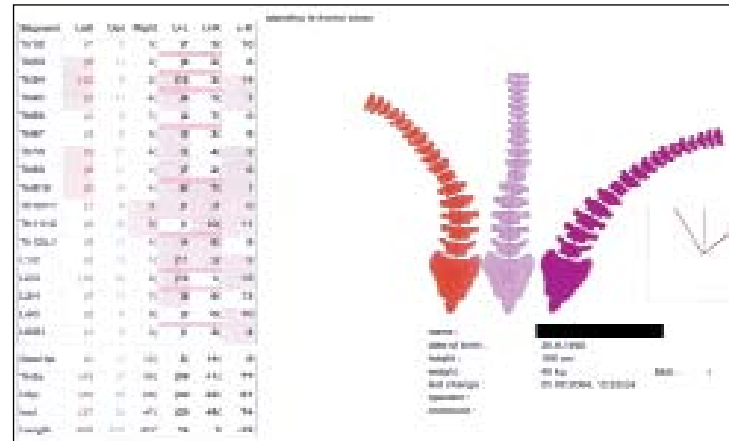


Εικόνα 6.

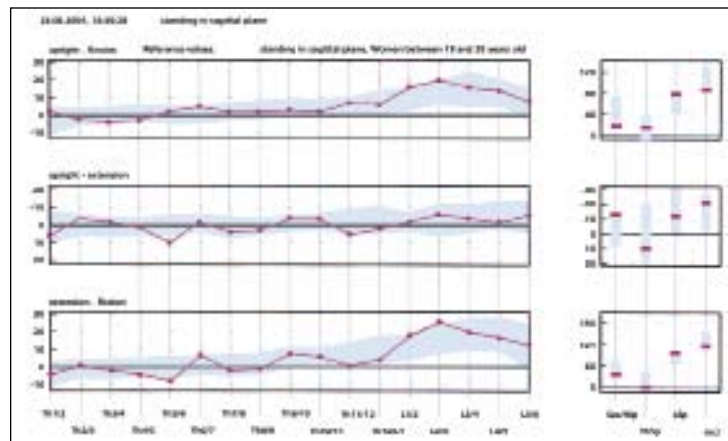
Εικόνα 7.



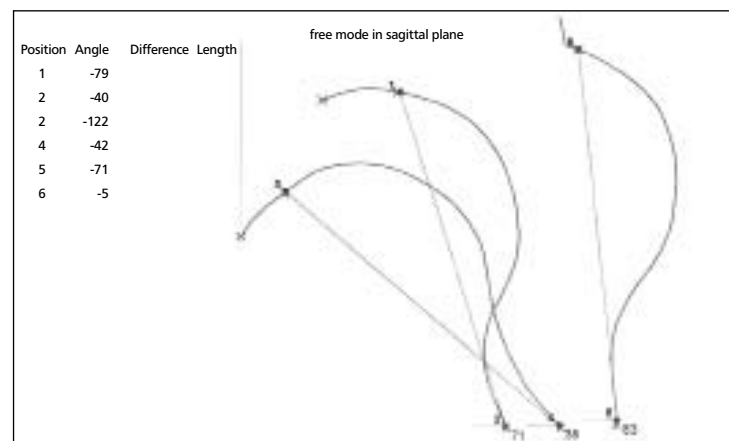
Εικόνα 8.



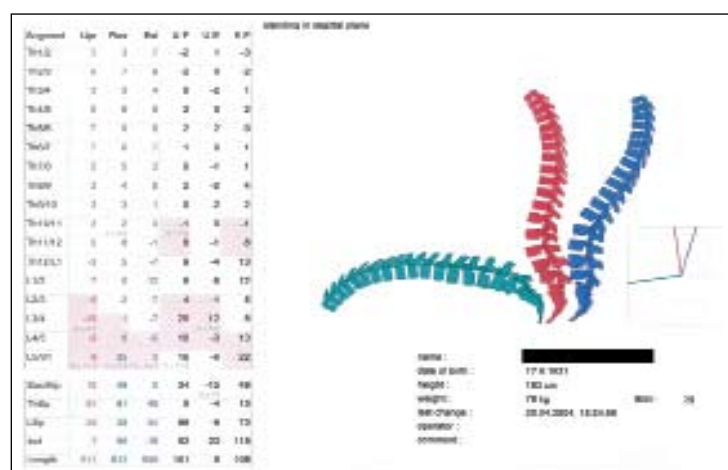
Εικόνα 9.



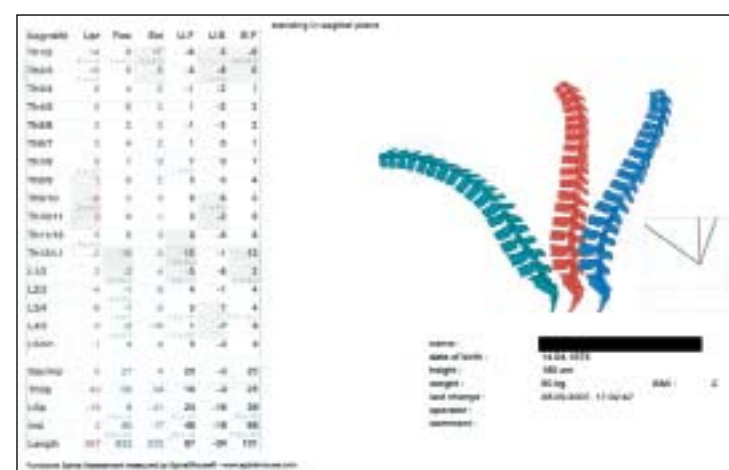
Εικόνα 10.



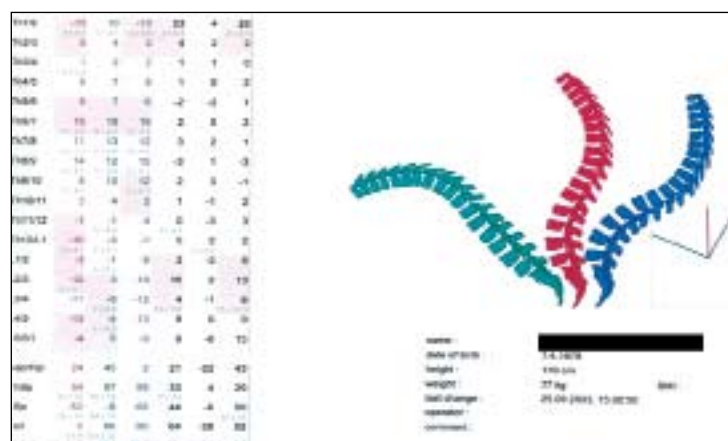
Εικόνα 11



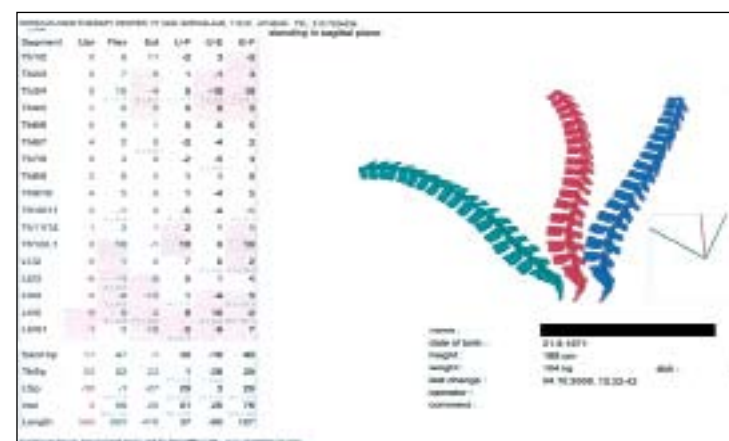
Εικόνα 12.



### *Eikóva 13.*



Εικόνα 14.



μετρήσεις θωρακικής δύναμης πριν και μετά τη Θεραπεία. Όλοι οι ασθενείς έκαναν ακτινογραφία πριν την έρευνα με ευρήματα ιδιοπαθούς σκοιλίωσης. Μόνο σκοιλίωση μικρότερη των 45° περιελήφθη στην έρευνα.

Η μέτρηση της δύναμης και η θεραπεία έγινε σε μηχάνημα MedX Θωρακικής στροφής, όπου η λεικάνη ήταν ακινητοποιημένη και ο κορμός ελέγχθηκε σε αντίσταση μέχρι να παρουσιαστεί κόπωση, πρώτα από δεξιά προς τα αριστερά και μετά από αριστερά προς τα δεξιά.

Το αρχικό βάρος ήταν  $\frac{1}{4}$  έως  $\frac{1}{2}$  του σωματικού βάρους, ανάλογα με την αντοχή του ασθενούς. Μόλις κατάφερνε ο ασθενής να πραγματοποίησει 20 επαναβήψεις, το βάρος αυξανόταν κατά περίπου 5%. Ακολούθησε άσκηση 2 φορές την εβδομάδα, μέχρι να φτάσουμε την μέγιστη δυνατή δύναμη που μπορούσε να επιτευχθεί.

Ακολούθησε άσκηση 1 φορά την εβδομάδα, μέχρι ο ακτινολογικός έλεγχος να δείξει σταθεροποίηση στην καρπυλότητα της σπονδυλικής στήλης.

Κανείς δε φορούσε κινδυμόνα κατά τη διάρκεια της έρευνας. Κανείς δεν παρουσίασε αύξηση στις μοίρες της σκολιώσσων κατά τη διάρκεια της έρευνας. Ο Μ.Ο. της καμπυλότητας ήταν  $29,5^\circ$  (από  $10^\circ$  έως  $45^\circ$ ) κατά την έναρξη της θεραπείας και  $25,1^\circ$  (minimum μείωση  $4^\circ$ , maximum μείωση  $43^\circ$ ) κατά τη λήξη της θεραπείας.

Παρουσιάστηκε εξισσορόπιση στη δύναμη της θωρακικής στροφής μετά από περίου 4 εβδομάδες άσκησης. Ο Μ.Ο. αληθαγής της δύναμης ήταν 108,5% (minimum 35%, maximum 200%).

Όλοι οι ασθενείς ολοκλήρωσαν τη θεραπεία. Αρχικά, όλοι οι ασθενείς παρουσίασαν δια-

φορά στη δύναμη. Όταν όμως ακολουθησε  
άσκηση με σταθεροποιημένη τη θεάση και  
απομονωμένο τον κορμό, η δύναμη ήταν  
ίση στις 2 πλευρές σε περίου 4 εβδομάδες.  
Κανείς δεν εμφάνισε αύξηση της σκοιλίωσης  
κατά τη διάρκεια της έρευνας. Οι περισσότεροι  
εμφάνισαν σημαντική βελτίωση στην καμπυ-  
λότητα της σπονδυλικής στήλης.

- Ασκήσεις ενδυνάμωσης με ειδικά εργομετρικά μπχανήματα
  - Prekis

## Ορθοπαιδική εμβιομηχανική τεχνολογία

- Ορθοπαιδικά εμφυτεύματα (π.χ. αρθροπλαστικές, σπονδυλοεσρίσεις κ.πλ.)
  - Ορθωτική τεχνολογία με ειδικούς κηδεμόνες σπονδυλικής στήλης
  - Προσθετική τεχνολογία (τεχνητοί δίσκοι, μοσχεύματα, τεχνητά άκοα)

## Τρόποι Αντιμετώπισης Δυσθειτουργιών της Σ.Σ. (εικόνες 31-32)

- Εργονομία
  - Διόρθωση στάσης
  - Εκμάθηση σωστής αναπνοής
  - Ειδικές εκτατικές ασκήσεις
  - Σταθεροποιητικές ασκήσεις

«Ανεπάρκειες» στη θεραπεία και την πρόληψη της οσφυαλγίας

- Πληθώρα μελετών για την οσφυαλγία
  - Σχέση σχήματος Υ της φόρτισης και του ➔

The figure shows a 3D rendering of a human spine in three colors (red, purple, blue) representing different segments or models. To the left is a table titled 'Measurements in frontal plane' with columns for Segment, Left, Mid, Right, S.L., L-H, and R-H. The table lists various spinal measurements for different segments like T1-L1, Th12, Th11, Th10, Th9, Th8, Th7, Th6, Th5, Th4, Th3, Th2, Th1, Th12/L1, Th11/Th12, Th10/Th11, Th9/Th10, Th8/Th9, Th7/Th8, Th6/Th7, Th5/Th6, Th4/Th5, Th3/Th4, Th2/Th3, Th1/Th2, and L1/S1. Most values are in millimeters, with some in degrees (e.g., L-H, R-H). A small 'X' icon is present in the bottom right corner of the table.

Εικόνα 15.

Εικόνα 16.

Εικόνα 17.

Εικόνα 18.

Εικόνα 19.

ΕΙΚΟΝΑ 20.

The figure shows a screenshot of a medical software application. On the right side, there is a 3D anatomical model of a human spine, colored in red, green, and blue, with a small triangular icon below it. On the left, there is a table with columns labeled 'Patient', 'ID', 'Name', 'Sex', 'Age', 'Height', 'Weight', 'Spine', 'Last Change', and 'Comments'. The table contains several rows of data, with some rows highlighted in pink. At the bottom right, there is a status bar with the text 'Patient 10001' and '04.03.2004 11:00:00'.

Εικόνα 21.

The figure shows a screenshot of the SRS software. On the left is a table with columns: Sequence, Age, Sex, Height, Weight, GCS, and L4/S1. The table contains numerous rows of data. To the right is a 3D anatomical model of a human spine, colored red and purple, with a red arrow pointing downwards. Below the spine model is a summary box with the following information:

- Spine: L1-L5
- Date of birth: 1998-01-01
- Height: 150 cm
- Weight: 50 kg
- Gender: Male
- Spine length: 45.1 cm
- Spine width: 10.1 cm

The screenshot shows a medical software interface. On the left, there is a table with columns for 'Measurement' and 'Value'. The table lists various measurements such as 'Distance between sacrum and sacroiliac joint', 'Sacroiliac joint angle', 'Sacroiliac joint distance', etc., with their corresponding values. In the center, there is a 3D model of a human spine in a curved posture. A red label 'anterior-posterior' is placed vertically along the spine's curve. On the right side of the interface, there is a small window with the following information:

- Gender: [REDACTED]
- Date of birth: 20.12.1997
- Height: 180 cm
- Weight: 83 kg
- Last change: 11.05.2014, 11:05:40
- Next change: [REDACTED]

Variability (standard deviation SD, n=50)	
(A) = trained	(B) = untrained
Systematic (invariant spine shape - laying position)	
(A): SD = +/- 0.8°	(B): SD = +/- 1.3°
Intraindividual (repeated upright position after walking)	
(A): SD = +/- 1.3°	(B): SD = +/- 1.8°
Intra-rater reproducibility (n=50)	
mean correlation coefficient r for segmental angles	
(A): r = 0.97	(B): r = 0.94
Inter-rater reproducibility (4 trained raters; 20 healthy probands)	
cross-correlation coefficient r = 0.93	
Comparison with functional radiograph (Th11 to sacrum)	
flexion-extension:	r(segm) = 0.84
upright-flexion:	r(segm) = 0.87
	r(lu)

Σχέδια 1

## **Μηχανική φόρτιση και ο μηχανισμός τραυματισμού**

Το όριο ασφαλείας παρατηρείται στον πρώτο κύκλο της φόρτισης. Στο δεύτερο κύκλο φόρτισης, το φορτίο αυξάνεται, ενώ μειώνεται ταυτόχρονα το όριο ασφαλείας στο 0, οπότε και προκύπτει τραυματισμός. Ο οδηγός του snowboard θα δεχθεί αξονική φόρτιση στη ΣΣ, η οποία βρίσκεται σε πλήρη κάμψη. Ένα μοναδικό, αλλιώς μέγιστο φορτίο μπορεί να μειώσει το όριο ασφαλείας στο 0, αν το φορτίο

Εξεράσει το όριο δύναμης των στηρικτικών ιστών. Επαναλαμβανόμενα υπομέγιστα φορτία οδηγούν σε κόπωση, μειώνοντας την αντοχή, και εδρικύτας σε κάκυωση (εικόνα 34).

Οι εργάτες της εικόνας 35, που δουλεύουν με τη ΣΣ σε πλήρη κάμψη, φορτίζουν οπίσθιους παθητικούς ιστούς για μεγάλο χρονικό διάστημα. Μειώνεται έτσι η αντοχή των ιστών οδηγώντας σε κάκωση (εικόνα 36).

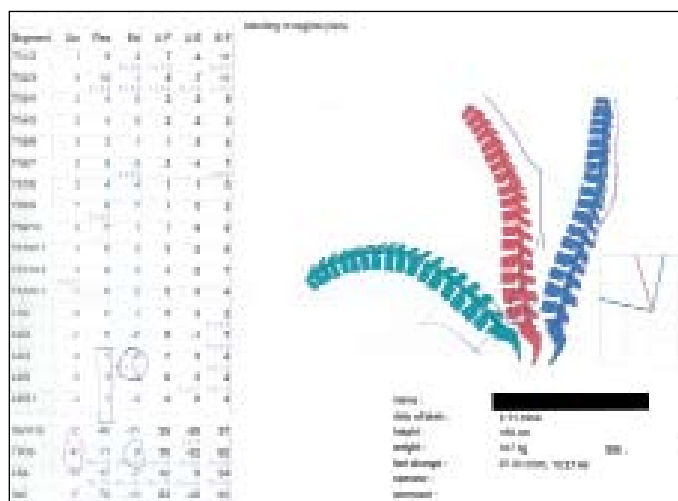
Η φόρτιση είναι απαραίτητη για την υγεία των ιστών. Όταν η φόρτιση και η επακόλουθη

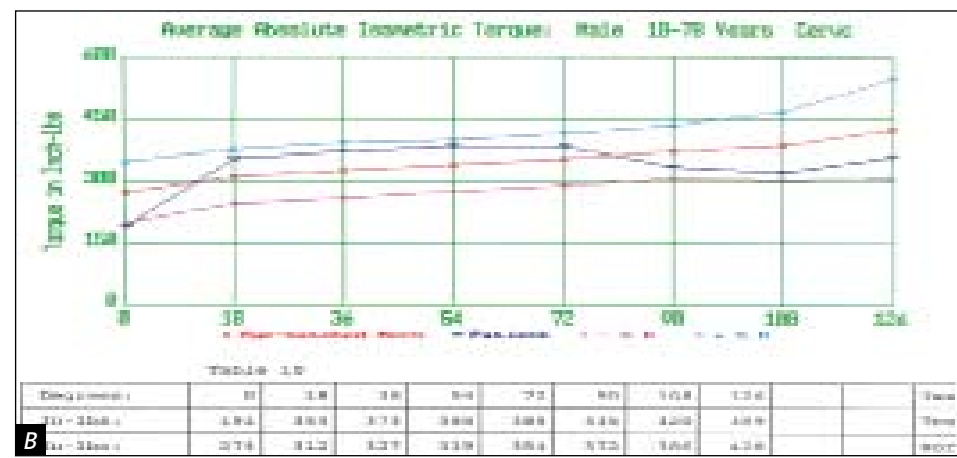
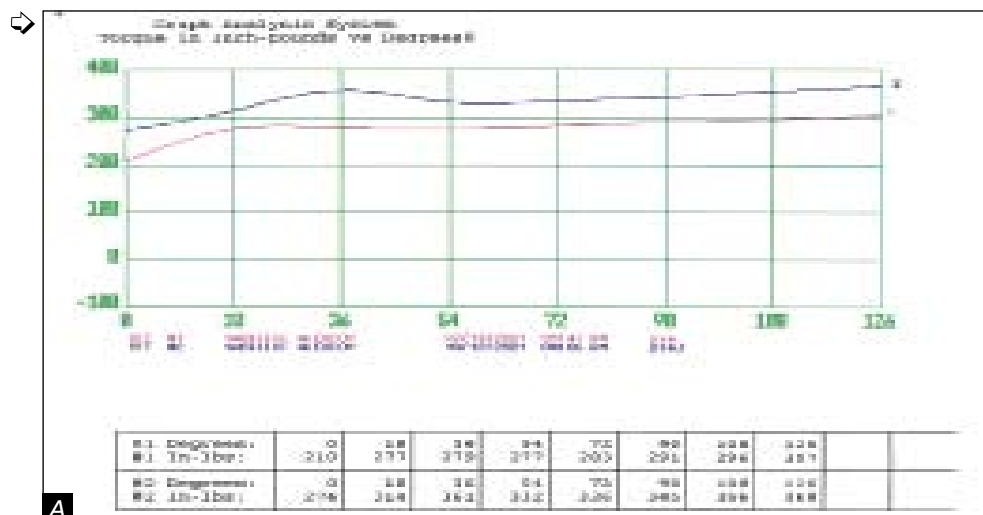
- Επακόπιουθου ρίσκου τραυματισμού
  - Μεγάλο ρίσκο τραυματισμού με πολύ μικρή και πολύ μεγάλη φόρτιση
  - Σχέση έντασης, διάρκειας της φόρτισης και της περιόδου ανάπτυξης

Πρέπει ο πρωταρχικός σκοπός της αποκατάστασης να είναι η επανά-κτηση του εύρους κίνησης:

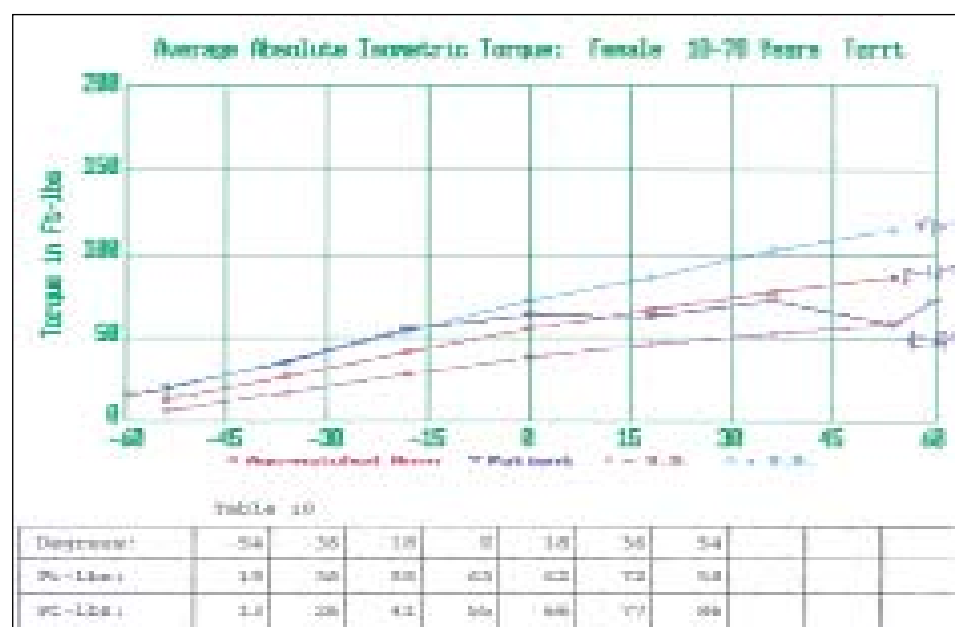
**Αυξημένο εύρος κίνησης της ΣΣ μπορεί να απειλήσει τον κίνδυνο μελλοντικών πολιουτι-**

σμών (Battie et al, 1990, Biering-Sorenson, 1984, Burton-Tillotson, Troup, 1989). Ο κύριος λόγος για την αύξηση του ROM είναι η σύνδεση με το βαθύτο ανικανότητα. Βάσει της αθλητικής κουπούρας, αυξημένο ROM αυξάνει την επίδοση. Αυτό ισχύει για μερικές μόνο περιπτώσεις. Μπορεί να ισχύει για κάποιες αρθρώσεις, αλλά δεν ισχύει πάντα για τη ΣΣ. Η επιτυχής αποκατάσταση της οσφυαλγίας ποικιλές φορές καθυστερεί όταν ακολουθούνται αθλητικές πρακτικές.

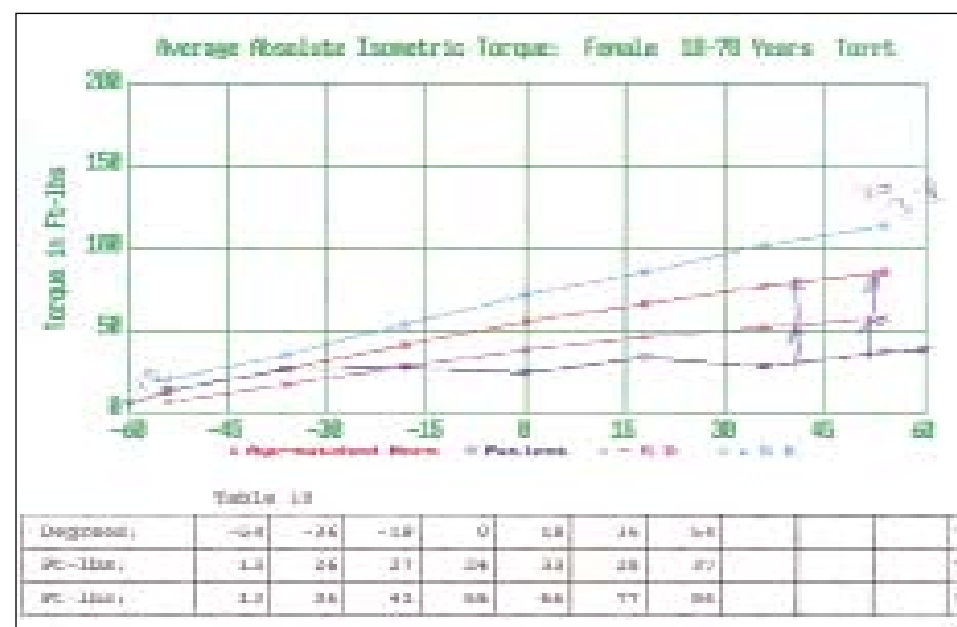




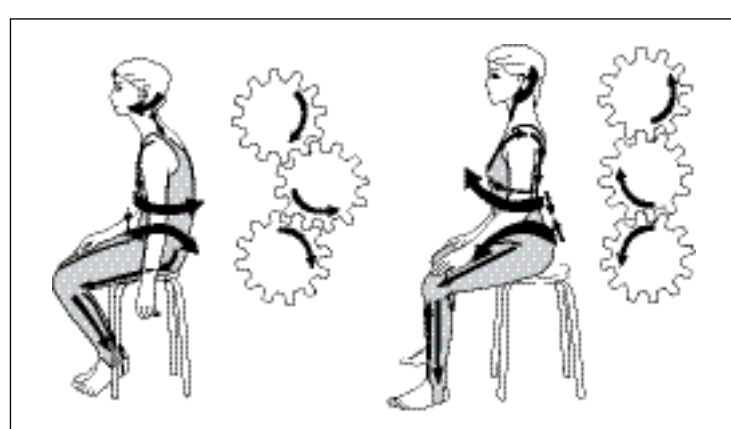
Εικόνα 28.



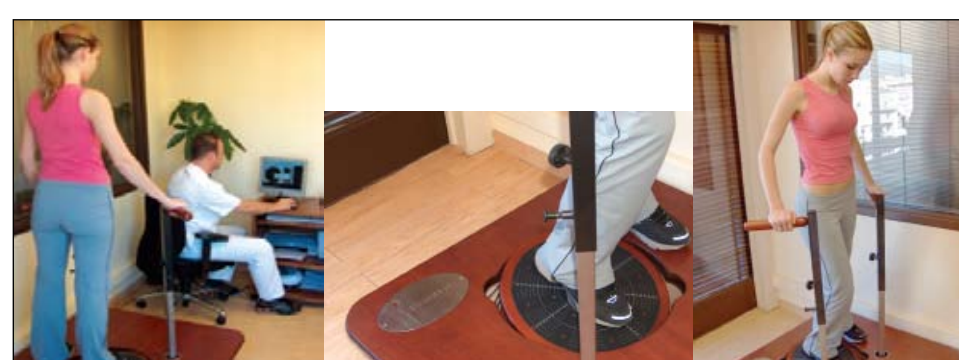
Εικόνα 29. Μέτρηση δύναμης θωρακικής μοίρας (αριστερή πλευρά).



Εικόνα 30. Μέτρηση δύναμης θωρακικής μοίρας (δεξιά πλευρά).



Εικόνα 31.



Εικόνα 33.



Εικόνα 32.



και πιγότερη αντοχή των εκτεινόντων της ΣΣ είχαν αυξημένη πιθανότητα να εμφανίσουν οσφυαλγία (Biering-Sorensen, 1984, Luoto, et al, 1995).

- Οι τραυματισμοί είναι πιο πιθανοί σε άτομα με ανεπαρκή μυχανισμό κινητικού ελέγχου (Berenton, McGill, 1999).

#### Ποιοί εμβιομηχανικοί παράγοντες επηρεάζουν την οσφυαλγία;

- Στατικές θέσεις εργασίας.
- Εργασία σε καθιστή θέση.
- Μεγάλη συχνότητα κάμψης και στροφής.
- Άρση, έλξη και ώθηση βάρους.
- Δόνηση.

#### Τι υποστηρίζουν τα στοιχεία ερευνών;

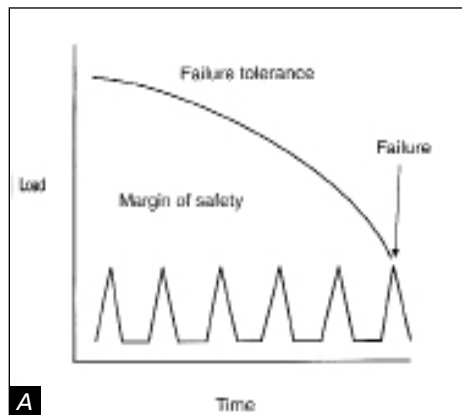
Οι εμβιομηχανικοί παράγοντες σχετίζονται με την πρώτη εμφάνιση οσφυαλγίας, την απουσία από τη δουλειά και πιθανά επόμενα επεισόδια. Οι ψυχοκοινωνικοί παράγοντες είναι εξίσου σημαντικοί, αλλά συνδέονται περισσότερο με επανεμφάνιση οσφυαλγίας. Οι ψυχοκοινωνικοί και οι εμβιομηχανικοί

παράγοντες αλληλοεπηρεάζονται, τόσο στην αιτία της απουσίας από τη δουλειά όσο και στην πορεία της αποκατάστασης. Η σχέση ανάμεσα στη φόρτιση και την οσφυαλγία είναι σχήματος Υ με τη βέλτιστη φόρτιση να είναι μετρίου επιπέδου.

Η κάκωση ιστών μπορεί να προκαλέσει αλληλεπίδηλης αλληλαγές, που μπορεί να προκαλέσουν πόνο σε ορισμένες δραστηριότητες. Πολλοί τύποι κακώσεων των ιστών μπορεί να μην είναι εύκολο να διαγνωστούν με ιατρικές απεικονιστικές εξετάσεις. Μη-συγκεκριμένη διάγνωση ποιοπόν δε σημαίνει ότι δεν υπάρχει μυχανική βλάβη.

#### Ενέργεια σε σχέση με τη δυσκαμψία και την αποθήκευση ελαστικής ενέργειας

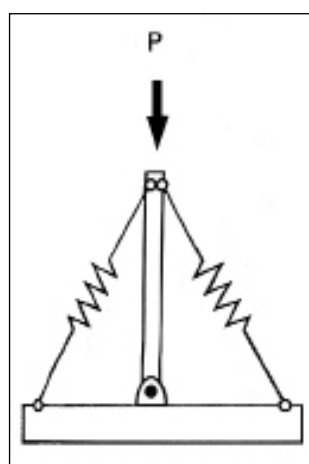
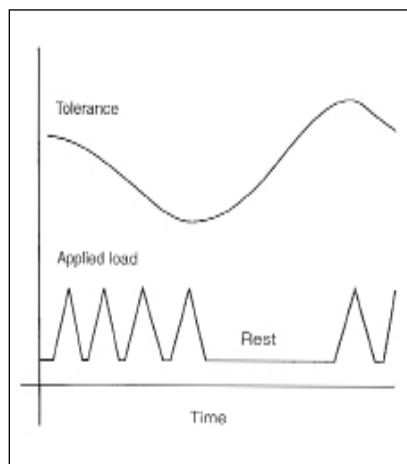
Αυξάνοντας τη μυϊκή ανελαστικότητα αυξάνεται η σταθερότητα και η ικανότητα να υποστηρίζονται μεγαλύτερα φορτία. Αν η ανελαστικότητα είναι ανάλογη και στις 2 πλευρές, η στήλη δεν ανατρέπεται. Αν αυξηθεί η ανελαστικότητα της μίας μόνο πλευράς, θα μειωθεί η αντοχή του συμπιεστικού φορτίου (εικόνα 37).



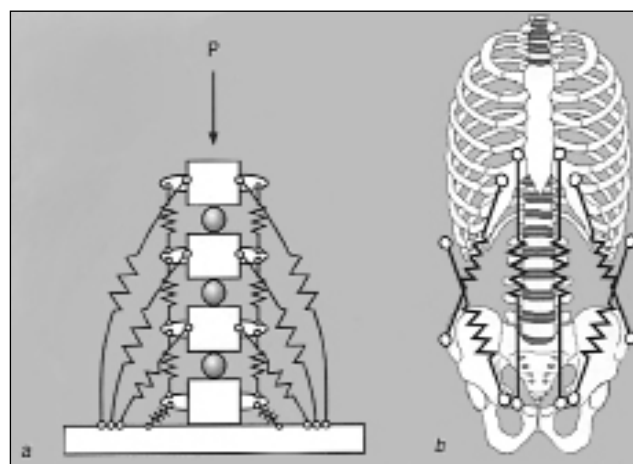
Εικόνα 34.



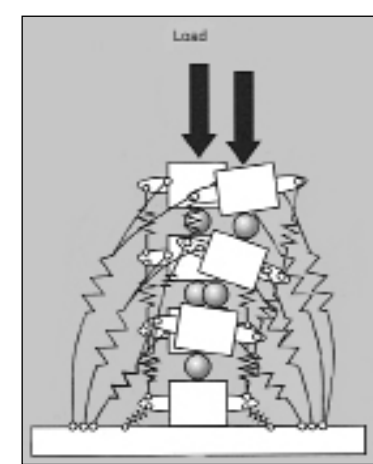
Εικόνα 35.



Εικόνα 37.



Εικόνα 38.



Εικόνα 39.

Η ανελαστικότητα και σταθερότητα της ΣΣ επιτυγχάνεται με σύνθετη αλληλεπίδραση Α) δομικών στοιχείων κατά μήκος της ΣΣ και Β) αυτών που σχηματίζουν το τέίχος του κορμού (εικόνα 38). Η ισορροπημένη ανελαστικότητα σε όλες τις πλευρές της ΣΣ είναι πιο κρίσιμη για τη διασφάλιση της σταθερότητας από το να υπάρχουν υψηλές δυνάμεις σε μία μόνο πλευρά. Αν υπάρχει ανισορροπία της ελαστικότητας και της δύναμης μεταξύ των δομών της ΣΣ, τότε η ΣΣ θα γίνει ασταθής (εικόνα 39).

### Ανασκόπωση

- Διερεύνηση και εντοπισμός της αιτίας της πάθησης.
- Σχεδιασμός μεθοδολογίας.
- Έλεγχος του προγράμματός μας ανά τακτά χρονικά διαστήματα για την πορεία της κατάστασης.
- Cost-benefit → ratio
- Στοιχεία απαραίτητα για την επιτυχία της θεραπείας είναι τα εξής:
  - Αυτοεκτίμηση
  - Άρνηση = Ερώτηση που ζητάει απάντηση →

στοιχειοθέτηση - τεκμηρίωση - εκπαίδευση  
- προσανατολισμός του ασθενή  
- Στόχοι ιδανικοί με τρόπους εφικτούς  
- Εμπιστοσύνη αμοιβαία

### Συμπέρασμα

Η εμβιομηχανική ανάλυση γίνεται με σύγχρονα μέσα καταγραφής και ανάλυσης βάσισης, κίνησης, κινητικότητας και στάσης σπονδυλικής στήλης (όπως τηλεμετρία, ανάλυση μυϊκού έργου-ισχύος, ανάλυση βάσισης με πελματογράφημα/βαροποδόμετρο κ.λπ.). Μπορεί να μας δώσει ουσιαστικές πλύσεις στην ανεύρεση της αιτίας της πάθησης, φτάνοντας ίσως έτσι στην αιτιοπαθογενή αποκατάσταση και όχι στη συμπτωματική θεραπεία.

Οι νέες τεχνικές και μέθοδοι είναι πλέον στα χέρια των ειδικών, που, ως ομάδες και όχι ως μονάδες, μπορούν να αποκτήσουν καλύτερη μηχανολογική αντίληψη και μηχανική εφαρμογή, διατηρώντας έτσι όσο το δυνατόν την αρχιτεκτονική εικόνα του ανθρώπινου σώματος. Αρκεί να συνεργαστούν μεταξύ τους όλες οι διαφορετικές ειδικότητες που εμπλέκονται στη μελέτη, κατανόηση, θεραπεία και αποκα-

τάσταση του μυοσκελετικού συστήματος του ανθρώπινου σώματος.

### Βιβλιογραφία

1. Nash L, Nicholson H, Lee AS, Johnson GM. Configuration of the connective tissue in the posterior atlanto-occipital interspace: a sheet plasty and confocal microscopy study. Spine 2005 Jun 15; 30(12):1359-66.
2. Dvorak J, Panjabi M, Gerber M, Wichmann W. CT-functional diagnostics of the rotatory instability of upper cervical spine. 1. An experimental study on cadavers. Spine 1987 Apr; 12(3):197-205.
3. Roche CJ, King SJ, Dangerfield PJ. The atlanto-axial joint: physiological range of rotation on MRI and CT. Clin Radiol 2002 Feb; 57(2):103-8.
4. Barton JW, Margolis MT. Rotational obstructions of the vertebral artery at the atlantoaxial joint. Neuroradiology 1975 Aug 7; 9(3):117-20.
5. Hack GD et al. Anatomic relation between the rectus capitis posterior minor muscle and the dura mater. Spine 1995 Dec 1; 20(23):2484-6.
6. Hellier PS, Evans PF, Wright V. The straight cervical spine: does it indicate muscle spasm? J Bone Joint Surg Br. 1994 Jan; 76(1):103-6.
7. A. Χατζηπαύλου, M. Τζερμαδίανος, I. Γαϊτάνης. Σπονδυλική Στήλη: Τι πρέπει να γνωρίζετε. Ιατρικές Εκδόσεις Πασχαλίδης: 2005.
8. Humphreys BK, Kenin S, Hubbard BB, Cramer GD. Investigation of connective tissue attachments to the cervical spinal dura mater. Clin Anat 2003 Mar; 16(2):152-9.
9. White III AA, Panjabi MM. Clinical biomechanics of the spine, 2nd edition, Kinematics of the spine: 1990, p. 88-89.
10. Bogduk N, Amevo B, Pearcy M. A biological basis for instantaneous centres of rotation of the vertebral column. Proc Inst Med Eng 1995; 209(3):177-83.
11. Schneider G, Pearcy M, Bogduk. Abnormal motion in spondylytic spondylolisthesis. Spine 2005; 30(10): 1159-1164.
12. Opper, Richard. Paradoxical motion, the cause of hypolordosis and kyphotic migration in the cervical spine secondary to hyperflexion/hyperextension injury. J Am Chiro Assoc 1999.
13. White III AA, Panjabi MM. Biomechanical considerations in the surgical management of cervical spondylotic myelopathy. Spine 1988 Jul; 13(7):856-60.
14. Pellengahr C, Pfahler M, Kuhr M, Hohmann D. Influence of facet joint angles and asymmetric disk collapse on degenerativeolisthesis of the cervical spine. Orthopedics 2000 Jul; 23(7):697-701.
15. Bronfort G, Evans R, Nelson B, Aker PD, Goldsmith CH, Vernon H. A randomized clinical trial of exercise and spinal manipulation for patients with chronic neck pain. Spine. 2001 Apr 1; 26(7):788-97.
16. Evans R, Bronfort G, Nelson B, Goldsmith CH. Two-year follow-up of a randomized clinical trial of spinal manipulation and two types of exercise for patients with chronic neck pain. Spine 2002 Nov 1; 27(21):2383-9.
17. Schultz S, Maximilian L. Measurement of shape and mobility of spinal column , validation of the spinal mouse by comparison with functional radiographs. University, 1999 Munich Germany.
18. Keller S. Reliability of a new measuring device (spinal mouse) in recording the sagittal profile of the back. European Spine Journal Aug 2000; Vol. 9.
19. Carlucci CC. Spinal mouse for assessment of spinal mobility. J Minim Invasive Spinal.